

فصل ۱

کرومودینامیک کوانتومی (QCD)

مقدمه

این فصل مختصری به درون اتم و مدل کوارکی اشاره دارد. بعضی خصوصیات تقارن $SU(3)$ را بیان می کند، هدف دیگر این فصل آشنایی با کرومودینامیک کوانتومی (QCD)، آزادی مجانی و پدیده جث رنگ است. لاغرانژی نظریه QCD را معرفی می کنیم و در نهایت در مورد تقارن کایرال توضیحاتی می دهیم.

۱-۱ درون اتم

با کشف الکترون به وسیله تامسون در سال ۱۸۹۷ فیزیک ذرات بنیادی متولد شد. تامسون می دانست که پرتوهای کاتدی را که از یک رشته داغ گسیل می شوند می توان با یک آهنربا منحرف کرد. این انحراف نشان می دهد پرتوها حامل بار الکتریکی اند، در واقع جهت خمیدگی ایجاد می کند که بار آن ها منفی باشد. بنابراین به نظر می رسد که آن ها اصلا پرتو نیستند بلکه جریانی از ذرات اند. با عبور آن ها از میدانهای الکتریکی و مغناطیسی عمود بر هم و تنظیم شدت میدان تا آنجا که انحراف خالص صفر شود، تامسون توانست سرعت ذرات و نسبت بار به جرمشان را تعیین کند. تامسون ذرات را ذره ریز و بار آن ها را الکترون نامید. به نظر می رسد که الکترون به راستی بنیادی است؛ اگر هم از خود ساختار درونی داشته باشد، هنوز آن را کشف نکرده ایم. اما هسته‌ی مرکزی از ذره های دیگری به نام های پروتون و نوترون ساخته شده است.

بار پروتون مثبت است؛ پروتون ها بار کل مثبت هسته را فراهم می کنند، هر چه تعداد پروتون های هسته بیشتر باشد بار هسته بیشتر است و در نتیجه، الکترون های بیشتری می توانند مانند ماهواره به دور آن بگردند و اتمی ساخته شود که بارهای منفی و مثبت آن با هم برابر و در کل بی بار است. اتم ساده ترین عنصر، هیدروژن، از یک پروتون و یک الکترون تشکیل شده است. تعداد پروتون های هسته چیزی است که یک عنصر را از دیگری تمایز می کند. یک خوشه ۶ پروتونی، هسته‌ی اتم کربن را می سازد. آهن ۲۶ و اورانیوم ۹۲ پروتون دارد.

به جز هیدروژن، هسته های اتمی همه‌ی عناصر دارای پروتون و نوترون اند. اساسا، نوترون گونه‌ای پروتون بدون بار الکتریکی است. همان اندازه را دارد و جرمش، با تقریب کسری از یک درصد، همان جرم پروتون است.

اگر نوترون و پروتون را هزار مرتبه بزرگ کنید می بینید که آن ها هم ساختار درونی پیچیده ای دارند. مثل یک گله زنبور که از دور چون نقطه ای سیاه به نظر می آید، ولی از نزدیک ابری پر جنب و جوش است؛ در تصویری با توان تفکیک کم، به لکه ای کوچکی می مانند. اما چون با میکروسکوپی با توان تفکیک زیاد دیده شوند، خوشه هایی هستند از ذرات کوچک تری به نام کوارک. الکترون ها و کوارک ها مانند حروف الفبای طبیعت اند؛ اجزای بنیادی که همه چیز را می توان از آن ها ساخت^[۲].

۱-۲ کوارک ها و هادرон ها

کوارک ها دارای سه نوع (یا طبع) هستند. کوارک u حامل بار $2/3$ و شگفتی صفر، کوارک d حامل بار $-1/3$ و شگفتی صفر، کوارک s حامل بار $-1/3$ و شگفتی -1 است.^۱ برای هر کوارک (q) پاد کوارک (\bar{q}) با بار و شگفتی مخالف وجود دارد. بنا بر مدل کوارکی ارائه شده توسط گلمان، هادرون ها در واقع حالت های مقید کوارک ها می باشند و به صورت آزاد وجود ندارند. هادرون ها دارای بار الکتریکی صحیح می باشند که به دو دسته باریونی و مزوونی تقسیم می شوند.

- ۱ . هر باریون از سه کوارک تشکیل شده است (و هر پاد باریون متتشکل از سه پاد کوارک است).
- ۲ . هر مزوون مرکب از یک کوارک و یک پاد کوارک است.

با استفاده از این دو قاعده می توان ده تایه ای باریونی و هشت تایه ای مزوونی را ساخت.

ترکیب های کوارک-پادکوارک جدول مزوونی را می دهد.

جدول (۱-۱): چند مزوون بطور نمونه با هم مقایسه شده اند^[۱].

مزوون	جرم (MeV)	عدد شگفتی
$\pi^+ (u\bar{d})$	139.47	0
$\pi^- (\bar{u}d)$	13946	0
$\pi^- (\bar{u}d)$	134.97	0
$K^+ (u\bar{s})$	493.677	+1
$D^+ (c\bar{d})$	186965	0

پاد مزوون ها خود به خود در ابر چند تایه ای همانند مزوون ها قرار می گیرند : $u\bar{d}$ پاد ذره $d\bar{u}$ است و بر عکس .

همین طور ترکیب سه کوارک جدول باریونی را می دهد.

¹ Up , Down , Strange

جدول (۱-۲): چند باریون بطور نمونه با هم مقایسه شده اند [۱].

باریون	جرم (MeV)	عدد شگفتی
$\Omega^-(sss)$	167245	-3
$\Lambda_c^+(udc)$	228646	0
$\Sigma^+(uus)$	118937	-1
$\Sigma^-(uds)$	119264	-1
$\Sigma^0(dds)$	1197449	-1

بعد از کشف مژون Ψ در تابستان ۱۹۷۴ همه پذیرفتند که Ψ حالت مقیدی از کوارک جدید چهارم به نام c (افسون) و پاد کوارک آن است. بالافصله کوارک پنجم b پا به میدان گذاشت و با کشف کوارک t , اکنون شش طعم برای کوارک ها داریم که در سه نسل جای می گیرند، اما تلاش دانشمندان برای یافتن نسل چهارم ذرات هنوز در جریان است به این سه نسل در زیر اشاره می نماییم.

کوارک ها	اول	دوم	سوم
لپتون ها	$\begin{pmatrix} u \\ d \end{pmatrix}$	$\begin{pmatrix} c \\ s \end{pmatrix}$	$\begin{pmatrix} t \\ b \end{pmatrix}$
	$\begin{pmatrix} \bar{e} \\ V_e \end{pmatrix}$	$\begin{pmatrix} \bar{\mu} \\ V_\mu \end{pmatrix}$	$\begin{pmatrix} \bar{\tau} \\ V_\tau \end{pmatrix}$

در جدول (۱-۳) اندازه بار و جرم شش کوارک آورده شده است.

جدول (۱-۳): جرم و بار شش کوارک با هم مقایسه شده اند [۱].

نام	نشانه	جرم	بار (Q)
Up	u	2.49 MeV	$\frac{2}{3}$
Down	d	5.05 MeV	$-\frac{1}{3}$
Strange	s	101 MeV	$-\frac{1}{3}$
Charme	c	1.27 GeV	$\frac{2}{3}$
Top	t	1.72 GeV	$\frac{2}{3}$
Bottom	b	4.19 GeV	$-\frac{1}{3}$

یک ایراد نظری بر مدل کوارکی وارد بود. به نظر می‌رسید که این مدل اصل طرد پائولی را نقض می‌کند. در فرمولیندی اولیه‌ی پائولی، اصل طرد اظهار می‌داشت که هیچ دو الکترونی نمی‌توانند یک حالت را اشغال کنند. به ویژه اصل طرد باید برای کوارک‌ها نیز برقرار باشد که دارای اسپین $1/2$ می‌باشند. برای مثال فرض می‌شود Δ^{++} از سه کوارک یکسان u در یک حالت تشکیل شده باشد؛ به نظر می‌رسد این مورد (و هچنین Δ^- و Ω^-) با اصل پائولی ناسازگار باشد. در سال ۱۹۶۴، گرینبرگ راهی برای این معضل پیشنهاد کرد. او اظهار داشت کوارک‌ها نه تنها در سه طعم (u, d, s) ظاهر می‌شود، بلکه می‌توانند یکی از سه رنگ (قرمز، آبی و سبز) را هم داشته باشند. برای ساختن یک باریون، به سادگی می‌توان یک کوارک از هر رنگ را در نظر گرفت، پس دیگر u ها در Δ^{++} یکسان نیستند (یکی از آن‌ها قرمز، یکی آبی و دیگری سبز است) و مشکل حل می‌شود.

یک بردار ستونی c متشکل از سه جز که رنگ کوارک‌ها را می‌دهد، به صورت زیر در نظر می‌گیریم:

$$c = \begin{pmatrix} 1 \\ 0 \\ 0 \end{pmatrix} \quad \text{و قرمز} \quad c = \begin{pmatrix} 0 \\ 1 \\ 0 \end{pmatrix} \quad \text{آبی} \quad c = \begin{pmatrix} 0 \\ 0 \\ 1 \end{pmatrix} \quad \text{برای سبز}$$

لازم به ذکر است که واژه "رنگ" در اینجا هیچ ربطی به معنی لغوی معمول آن ندارد. قرمزی، آبی و سبزی فقط برچسب هایی برای نشان دادن سه ویژگی است که کوارک‌ها علاوه بر بار و شگفتی دارند. یک کوارک قرمز، حامل یک واحد قرمزی، صفر تا آبی و صفر تا سبزی است و پاد ذره آن حامل منهای یک واحد قرمزی و نظایر آن است. باید توجه کنیم که "ذرات در طبیعت بی رنگ اند"، که در قسمت پدیده حس رنگ به طور کامل این موضوع را توضیح می‌دهیم.

۱-۳ نیروهای موجود در طبیعت

چهار نیروی بنیادی در طبیعت وجود دارد: قوی، الکترومغناطیسی، ضعیف و گرانشی. این نیروها در جدول (۴-۱) به ترتیب شدت نزولی فهرست بندی شده‌اند.

جدول (۴-۱): مقایسه قدرت نیروهای حاکم بر طبیعت را نشان می‌دهد [۳].

ذره و اسطه	نظريه	شدت	نيرو
گلوبون	کرومودینامیک	10^{-10}	قوی
فوتون	الکترودینامیک	$10^{-۲}$	الکترومغناطیسی
W و Z	الکتروضعیف	$10^{-۱۳}$	ضعیف
گراویتون	گرانش	$10^{-۴۲}$	گرانشی

برای هر یک از این نیروها یک نظریه وجود دارد. نظریه‌ی کلاسیک گرانی، قانون گرانش عمومی نیتون است. نظریه‌ی کوانتمی الکترودینامیک را توموگا، فایمن و شوئینگر در سال ۱۹۴۰ تکمیل کرده بودند. اولین نظریه‌ی نیروهای ضعیف را فرمی در سال ۱۹۳۳ ارائه کرد و لی و یانگ، فایمن، گلمان و دیگران در دهه‌ی پنجاه آن را اصلاح کردند و سرانجام گلاشو، واینبرگ و سلام در دهه‌ی هشتاد آن را به شکل حاضر در آوردن. برای نیروهای قوی و رای کار پیشگامانه‌ی یوکاوا در ۱۹۳۴، تا ظهریه‌ی فلیورودینامیک (نظریه‌ی واکنش‌های ضعیف را گاهی "فلیورودینامیک" می‌نامند) در نیمه‌ی دهه‌ی هفتاد، نظریه‌ای واقعی وجود نداشت.

هر یک از این نیروها با مبادله‌ی یک ذره رد و بدل می‌شوند. واسطه‌ی گرانش گراویتون نامیده می‌شود، نیروهای الکترومغناطیسی با فوتون، نیروهای قوی با گلوئون و نیروهای ضعیف با بوزون‌های برداری میانی Z و W و بدل می‌شوند. این واسطه‌ها نیرو را بین یک کوراک یا لپتون و دیگری منتقل می‌کنند.

۴-۱ گروه تقارنی $SU(3)$

گروه $SU(3)$ نقش مهمی را در زمینه‌ی واکنش‌های قوی بازی می‌کند. گروه $SU(3)$ را به صورت یک ماتریس 3×3 به نام U که یکانی و دارای دترمینال یک است را در نظر می‌گیریم. $(\det(U) = 1, UU^+ = 1)$

از لحاظ ریاضی $SU(3)$ یک پارامتر هشت تابه دارد که به سادگی به گروه لی^۲ متصل می‌شود. به این معنی است که هر عنصر گروه را می‌توان توسط مجموعه‌ای از ۸ پارامترهای حقیقی هستند نشان داد $(\Theta_1, \dots, \Theta_8)$.

$SU(3)$ در $U(\Theta)$ را به صورت تابع نمایی زیر تعریف می‌کنیم:

$$U(\Theta) = \exp\left(-i \sum_{a=1}^8 \Theta_a \frac{\lambda_a}{2}\right) \quad (1-1)$$

که در آن Θ_a عده‌های حقیقی و λ_a ماتریس‌های هشت گانه گلمان^۳ هستند که شرایط زیر بر آن حاکم است [۴]:

$$\frac{\lambda}{2} = i \frac{\partial U}{\partial \Theta_a} \quad (0, \dots, 0) \quad (2-1)$$

$$\lambda_a = \lambda_a^+ \quad (3-1)$$

$$Tr(\lambda_a \lambda_b) = 2\delta_{ab} \quad (4-1)$$

$$Tr(\lambda_a) = 0 \quad (5-1)$$

ماتریس‌های گلمان را به صورت زیر تعریف می‌کنیم:

² Lie Group

³ Gell-Mann matrice

$$\lambda_1 = \begin{pmatrix} 0 & 1 & 0 \\ 1 & 0 & 0 \\ 0 & 0 & 0 \end{pmatrix} \quad \lambda_2 = \begin{pmatrix} 0 & -i & 0 \\ i & 0 & 0 \\ 0 & 0 & 0 \end{pmatrix}$$

$$\lambda_3 = \begin{pmatrix} 1 & 0 & 0 \\ 0 & -1 & 0 \\ 0 & 0 & 0 \end{pmatrix} \quad \lambda_4 = \begin{pmatrix} 0 & 0 & 1 \\ 0 & 0 & 0 \\ 1 & 0 & 0 \end{pmatrix}$$

$$\lambda_5 = \begin{pmatrix} 0 & 0 & -i \\ 0 & 0 & 0 \\ i & 0 & 0 \end{pmatrix} \quad \lambda_6 = \begin{pmatrix} 0 & 0 & 0 \\ 0 & 0 & 1 \\ 0 & 1 & 0 \end{pmatrix}$$

$$\lambda_7 = \begin{pmatrix} 0 & 0 & 0 \\ 0 & 0 & -i \\ 0 & i & 0 \end{pmatrix} \quad \lambda_8 = \frac{1}{\sqrt{3}} \begin{pmatrix} 1 & 0 & 0 \\ 0 & 1 & 0 \\ 0 & 0 & -2 \end{pmatrix}$$

جابجایگرهای ماتریس λ معرف " ثابت های ساختار " (f_{abc}) گروه $SU(3)$ هستند:

$$\left[\frac{\lambda_a}{2}, \frac{\lambda_b}{2} \right] = if_{abc} \frac{\lambda_c}{2} \quad (6-1)$$

ثابت های ساختار کاملا پاد متقارن اند . $f_{bac} = f_{acb} = -f_{abc}$ چون شاخص ها از ۱ تا ۸ تغییر می کنند، در کل $8 \times 8 = 512$ ثابت ساختار وجود دارد، اما اغلب آن ها حفظ نموده اند. یک مجموعه از ثابت های ساختار $SU(3)$ را در جدول (۵-۱) آورده ایم و بقیه ای آن ها را می توان با توجه به شرط پاد متقارن بودن بدست آورد.

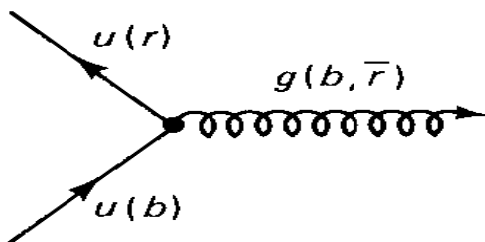
جدول (۱-۵) : ثابت های ساختار گروه تقارنی $SU(3)$

abc	123	147	156	246	257	345	367	458	678
f_{abc}	1	$\frac{1}{2}$	$-\frac{1}{2}$	$\frac{1}{2}$	$\frac{1}{2}$	$\frac{1}{2}$	$-\frac{1}{2}$	$\frac{1}{2}\sqrt{3}$	$\frac{1}{2}\sqrt{3}$

۱-۵ کرومودینامیک کوانتومی (QCD)

در کرومودینامیک^۴، رنگ نقش بار را دارد و فرایند پایه کوارک \leftarrow کوارک + گلوئون است. نیروی بین دو کوارک با مبادله گلوئون^۵ "رد و بدل" می شود.

در کرومودینامیک سه نوع رنگ وجود دارد (قرمز، سبز و آبی) و در فرایند $g + q \rightarrow q$ رنگ کوارک می تواند تغییر کند. مثلاً یک کوارک بالای آبی به یک کوارک بالای قرمز تبدیل می شود. چون رنگ (مثل بار) همیشه پایسته است، باید این اختلاف رنگ را گلوئون حمل کند. در این مثال اختلاف رنگ برابر یک واحد آبی منهای یک واحد قرمز است.



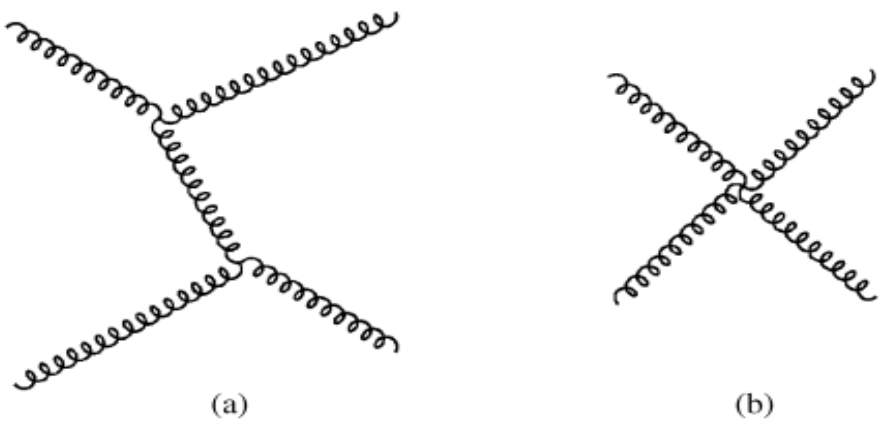
شکل (۱-۱): کوارک $\cdots \rightarrow$ کوارک + گلوئون

پس گلوئون ها "دو رنگ" و حامل یک واحد رنگ مثبت و یک واحد رنگ منفی هستند.

چون گلوئون ها خودشان حامل رنگ هستند مستقیماً با بقیه ی گلوئون ها جفت می شوند. پس علاوه بر راس بنیادی گلوئون-کوارک، راس بنیادی گلوئون-گلوئون نیز وجود دارد. در واقع دو نوع راس سه گلوئونی و چهار گلوئونی داریم که در شکل (۱-۱) نشان داده شده است. این جفت شدگی مستقیم گلوئون-گلوئون نه تنها کرومودینامیک را بسیار پیچیده تر از الکترودینامیک می کند، بلکه آن را غنی تر می سازد. برای مثال می توانیم گلوبال (حالتهای مقیدی از گلوئون های بر هم کش کننده که در آن هیچ کوارکی دیده نمی شود) داشته باشیم.

⁴ Quantum Chromo Dynamics (QCD)

⁵ Gluon



شکل (۲-۱): (a) گره سه گلوئونی و (b) گره چهار گلوئونی در نظریه کرومودینامیک.

تئوری QCD توصیف کننده بر هم کنش های قوی در مدل استاندارد است. یک نظریه کواتومی است که به میزان زیادی با تجربه هم خوانی دارد. تقارن موجود در این تئوری $SU(3)_C$ می باشد و به همین دلیل نظریه QCD را تئوری پیمانه ای^۶ می گویند. میدان های موجود در آن کوارک ها هستند که دارای اسپین نیمه صحیح (فرمیون) می باشند. بوزون های پیمانه ای^۷ بدون جرم و بدون بار الکتریکی با اسپین یک به نام گلوئون نیرو را در بر هم کنش های قوی هدایت می کنند [۲].

۱-۵-۱ ویژگی های QCD

همانطور که در ابتدای فصل اشاره شد، کوارک ها حامل عدد کواتومی رنگ هستند و چون رنگ مانند بار الکتریکی پایسته است لذا در بر هم کنش های قوی گلوئون ها هم می باشد حامل رنگ باشند. چون گلوئون ها برخلاف فوتون ها حامل رنگ هستند پس می توانند با یکدیگر بر هم کنش کنند که در بخش قبلی به این نتیجه رسیدیم.

در ذرات بنیادی به هر رنگ یک عدد کواتومی به نام Color charge نسبت می دهند. جدول (۱-۴) عدد مربوط به هر رنگ را نشان می دهد.

تنها حالت هایی در طیف هادرон ها به طور تجربی اتفاق می افتند که عدد کواتومی مربوط به رنگ آن ها صفر باشد. ($I_3^c = Y^c = 0$) این همان پدیده حبس رنگ است. به طور تجربی به نظر می رسد که کوارک ها در بسته های بی رنگ دو تایی (مزون ها) و سه تایی (باریون ها و پاد باریون ها) محبوس اند.

⁶ Gauge Theory

⁷ Boson Gauge

جدول (۱-۶) : Color charge مربوط به هر رنگ را نشان می دهد [۳].

(a) Quarks		(b) Antiquarks	
	I_3^C	Y^C	
r	$\frac{1}{2}$	$\frac{1}{3}$	\bar{r}
g	$-\frac{1}{2}$	$\frac{1}{3}$	\bar{g}
b	0	$-\frac{2}{3}$	\bar{b}

با توجه به اینکه سه رنگ مختلف برای کوارک ها وجود دارد می توان آنها را به صورت نه حالت نمایش داد. اما به موجب تقارن موجود $SU(3)_C$ می بایست ترکیب خطی از آنها در نظر گرفت که یک دسته هشت تایه ای رنگ را به قرار زیر می دهد:

$$|1\rangle = \frac{1}{\sqrt{2}}(r\bar{b} + b\bar{r})$$

$$|2\rangle = \frac{-i}{\sqrt{2}}(r\bar{b} - b\bar{r})$$

$$|3\rangle = \frac{1}{\sqrt{2}}(r\bar{r} - b\bar{b})$$

$$|4\rangle = \frac{1}{\sqrt{2}}(r\bar{g} + g\bar{r})$$

$$|5\rangle = \frac{-1}{\sqrt{2}}(r\bar{g} - g\bar{r})$$

$$|6\rangle = \frac{-1}{\sqrt{2}}(b\bar{g} + g\bar{b})$$

$$|7\rangle = \frac{-i}{\sqrt{2}}(b\bar{g} - g\bar{b})$$

$$|8\rangle = \frac{1}{\sqrt{6}}(r\bar{r} + b\bar{b} - 2g\bar{g})$$

و یک تک تایه ای رنگ را تشکیل می دهد :

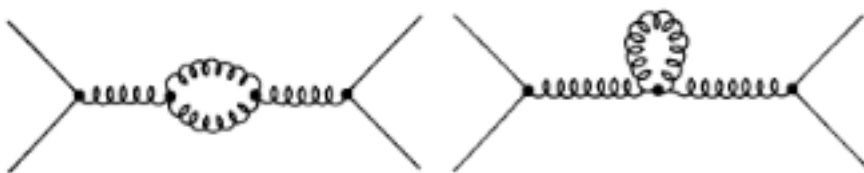
$$|9\rangle = \frac{1}{\sqrt{3}}(r\bar{r} + b\bar{b} + g\bar{g})$$

آن دسته هشت تایه ای رنگ تک رنگ نیستند، بنابراین به صورت آزاد قابل آشکارسازی نمی باشند. زیرا همان طور که گفته شد تنها ترکیب هایی به طور تجربی وجود دارند که عدد مربوط به رنگ آن ها صفر باشد در واقع بی رنگ باشند. حالت $|9\rangle$ یک تک تایه ای رنگ است و اگر آن را به صورت یک واسطه در نظر بگیریم، باید به صورت یک ذره آزاد وجود داشته باشد افزون بر این می توانیم آن را بین دو تک تایه ای رنگ (مثلا یک پروتون و یک نوترون) مبادله و سبب پیدایش نیروی بلند برد با جفت شدگی قوی شود. در حالی که می دانیم نیروی قوی با برد کم وجود دارد و به این ترتیب می توانیم بگوییم در دنیای ما فقط هشت نوع گلوبن موجود می باشد.

به لحاظ تجربی ثابت جفت شدگی مربوط به نیروی قوی α ، از نیروی بین دو پروتون محاسبه می شود، بزرگتر از ۱ است. بزرگی این عدد مدهاست که فیزیکدانان ذرات را آزار می دهد. زیرا به جای آنکه سهم نمودارهای پیچیده تر کمتر و کمتر شود،

بیشتر و بیشتر می شود. یکی از پیروزی های QCD کشف این مهم بود که در این نظریه عددی که نقش "ثابت" جفت شدگی را دارد، اصلاً ثابت نیست، بلکه به فاصله بین ذرات بر هم کنش کننده بستگی دارد. در فاصله های نسبتاً بزرگ مشخصه ای فیزیک هسته ای، این عدد بزرگ است و در فاصله های کوتاه (کمتر از اندازه ای پروتون) کاملاً کوچک می شود. به این رفتار در فواصل کم آزادی مجانبی^۸ گفته می شود.

همان طور که گفته شد، دیاگرام ها در QCD علاوه بر داشتن گره های کوارک-کوارک-گلوئون (که خود به افزایش قدرت جفتیدگی در فواصل کوتاه می انجامد) دارای گره های گلوئون-گلوئون (که باعث کاهش قدرت جفتیدگی در فواصل کوتاه می شود) می باشد که در شکل (۳-۱) نمایش داده شده است.



شکل (۳-۱): گره های گلوئون-گلوئون-گلوئون

لذا رقابتی میان این دیاگرام ها وجود دارد و برنده شدن در این رقابت به شمار نسبی رنگ و طعم بستگی دارد. در این میان پارامتر بحرانی a را تعریف می کنیم.

$$a \equiv 2f - 11n \quad (7-1)$$

اگر این عدد مثبت باشد، اثر جفت شدگی در فاصله های کوتاه افزایش می یابد و اگر منفی باشد جفت شدگی کم می شود. در مدل استاندارد $f = 6, n = 3$ و $a = -21$ می شود پس جفت شدگی QCD در فاصله های کوتاه کاهش می یابد. (منظور از f طعم و n رنگ است) به طور کیفی، این منشا آزادی مجانبی است [۲].

⁸ Asymptotic Freedom

۶-۱ لاگرانژی نظریه QCD

ابتدا به لاگرانژی نظریه QED (الکترودینامیک کوانتومی) اشاره می کنیم و آن را با نظریه QCD مقایسه می کنیم.

لاگرانژی برای الکترون آزاد در الکترودینامیک کوانتومی (QED) به صورت زیر است:

$$\Psi \rightarrow \exp(-i\Theta)\Psi : L_{eff} = \bar{\Psi}(i\gamma^\mu \partial_\mu - m)\Psi \rightarrow L_{eff} \quad (8-1)$$

پارامتر $2\pi \leq \Theta \leq 0$ است. (از تقارن سراسری $U(1)$ برای توصیف لاگرانژی استفاده شده است.)

لاگرانژی بالا را با استفاده از یک میدان برداری A_μ به صورت زیر در نظر می گیریم:

$$L_{QED} = \bar{\Psi}[i\gamma^\mu(\partial_\mu - ieA_\mu) - m]\Psi - \frac{1}{4}F_{\mu\nu}F^{\mu\nu} \quad (9-1)$$

$$F_{\mu\nu} = \partial_\mu A_\nu - \partial_\nu A_\mu \quad (10-1)$$

که A_μ میدانی جدید (موسوم به میدان پیمانه ای) است که تحت تبدیل های پیمانه ای به صورت زیر تبدیل می شود:

$$A_\mu \rightarrow A_\mu - \frac{1}{e}\partial_\mu \Theta \quad (11-1)$$

مشتق هموردا^۹ را به این صورت تعریف می کنیم:

$$D_\mu \Psi \equiv (\partial_\mu - ieA_\mu)\Psi \quad (12-1)$$

$$\Psi(x) \rightarrow \exp[-i\Theta(x)]\Psi(x) \quad (13-1)$$

تبدیل پیمانه ای مشتق هموردا به صورت زیر می شود:

$$D_\mu \Psi(x) \rightarrow \exp[-i\Theta(x)]D_\mu \Psi(x) \quad (14-1)$$

که این نشان می دهد لاگرانژی تحت تبدیلات پیمانه ای ناورداست.

در QCD با $SU(3)$ رنگ سرو کار داریم و میدان های بنیادی کوارک هایی با اسپین $1/2$ هستند. پس با استفاده از این قاعده لاگرانژی در QCD به صورت زیر می شود [۵]:

$$L_{QCD} = \sum_{f=u,d,s,c,b,t} \bar{q}_f(iD - m_f)q_f - \frac{1}{4}G_{\mu\nu,a}G_a^{\mu\nu} \quad (15-1)$$

جمله اول لاگرانژی دینامیک کوارک ها را نشان می دهد و جمله دوم دینامیک بوزون های پیمانه ای را نشان می دهد. برای هر کوارک طعم f ، کوارک میدان q_f شامل سه رنگ (قرمز، سبز و آبی) است.

⁹covariant derivative

$$q_f = \begin{pmatrix} q_{f,r} \\ q_{f,g} \\ q_{f,b} \end{pmatrix} \quad (16-1)$$

لذا لاگرانژی ارائه شده در QCD تحت این تقارن ناوردادست. تقارن یاد شده در واقع تقارن $SU(3)$ در فضای رنگ است یعنی برای هر کوارک طعم می توانیم چرخش را روی سه رنگ در نظر بگیریم.

۱-۶-۱ کوارک های سبک و سنگین

شش کوارک طعم معمولاً به دو گروه سبک u, d, s و سنگین c, b, t تقسیم می شوند. که این دسته بندی بر اساس جرم آن ها صورت گرفته:

$$\begin{cases} m = 0.005 Gev \\ m = 0.009 Gev \\ m = 0.175 Gev \end{cases} \leq 1 Gev \leq \begin{cases} m_c = (1.15 - 1.35) Gev \\ m_b = (4.0 - 1.4) Gev \\ m_t = 174 Gev \end{cases} \quad (17-1)$$

جمله کوارک های سبک^{۱۰} را $m_u, m_d, m_s \rightarrow 0$ تقریباً صفر در نظر می گیریم. لاگرانژی QCD در حد کایرال عبارت است از:

$$L_{QCD}^0 = \sum_{l=u,d,s} \bar{q}_l (iD) q_l - \frac{1}{4} G_{\mu\nu,a} G_a^{\mu\nu} \quad (18-1)$$

که یک شروع خوب برای بحث در انرژی های پایین در QCD است. اگر به رابطه بالا توجه کنید تقارن طعم هم در آن دیده می شود زیرا روی طعم های کوارک جمع بسته شده است.

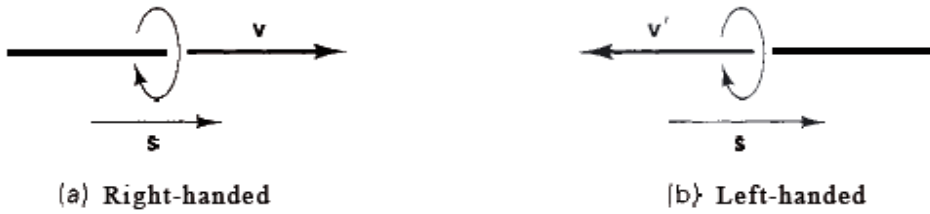
۷-۱ تقارن کایرال $SU(3)_L \times SU(3)_R$ در لاگرانژی QCD

قبل از اینکه تقارن کایرال را توضیح دهیم با مفهوم چپ گردی و راست گردی آشنا می شویم؛ عملگر هلസیتی را به این صورت می نویسیم:

$$h = \frac{1}{2} \sigma \cdot \hat{p} \quad (19-1)$$

اگر اسپین و سرعت در یک جهت باشند هلنسیتی $+1$ و راستگرد، اگر در خلاف جهت یگدیگر باشند هلنسیتی -1 و چپگرد است. که در شکل (۴-۱) نمایش داده شده است.

¹⁰ Light quark



شکل (۴-۱): (a) راستگردی، (b) چپگردی

عملگر چپ گردی و راست گردی را به این صورت تعریف می کنیم:

$$p_R = \frac{1}{2}(1 + \gamma^5) \quad p_L = \frac{1}{2}(1 - \gamma^5) \quad (20-1)$$

و $\gamma_5^2 = 1$, $\gamma_5 = \gamma^5 = i\lambda^0\lambda^1\lambda^2\lambda^3$ ماتریس کایرالیتی است.

میدان کوارک تشکیل شده است از دو کوارک چپ و راست:

$$q = \begin{pmatrix} q_L \\ q_R \end{pmatrix} \quad q_R = p_R q, \quad q_L = p_L q \quad (21-1)$$

با استفاده از رابطه (۲۰-۱) و (۲۱-۱) می توان لاگرانژی (۱۸-۱) را به صورت زیر نوشت

$$L_{QCD}^0 = \sum_{l=u,d,s} (\bar{q}_{R,l} iD q_{R,l} + \bar{q}_{L,l} iD q_{L,l}) - \frac{1}{4} G_{\mu\nu,a} G_a^{\mu\nu} \quad (23-1)$$

اگر در لاگرانژی بر هم کنش های بوزون های پیمانه ای را در نظر نگیریم جمله دوم لاگرانژی حذف می گردد و می توان فقط جمله اول را برای لاگرانژی در نظر بگیریم.

$$L_{QCD}^0 = \sum_{l=u,d,s} (\bar{q}_{R,l} iD q_{R,l} + \bar{q}_{L,l} iD q_{L,l}) \quad (24-1)$$

تبديلات زیر را در نظر بگيريد:

$$q_R \rightarrow U q_R \rightarrow e^{i\Theta_R} q_R, \quad q_L \rightarrow U q_L \rightarrow e^{i\Theta_L} q_L \quad (25-1)$$

تحت تبدیلات (۲۵-۱) لاگرانژی (۲۴-۱) ناورداست. این همان تقارن کایرال است، که به صورت $SU(3)_L \times SU(3)_R$ نمایش می دهیم. وقتی تقارن محوری^{۱۱} به صورت خود به خودی شکسته شود، $[SU(3)_L \times SU(3)_R] \rightarrow SU(3)_V$ در این صورت انتظار داریم هشت گلدستون بوزون بدون جرم ایجاد گردد اما در واقعیت این گلدستون بوزون ها دارای جرم می

^{۱۱} Axial Symmetry

باشند و این به دلیل تقارن تقریبی اولیه است چون ما در ابتدا جرم کوارک ها را صفر در نظر گرفتیم در حالی که در واقعیت این ذرات دارای جرم می باشند. پس تقارن کایرال اولیه یک تقارن تقریبی است و صد درصد نمی باشد[۶].

حال اگر جرم کوارک ها را صفر در نظر نگیریم، ماتریس جرم را می توانیم به این صورت تعریف کنیم:

$$M = \begin{pmatrix} m_u & 0 & 0 \\ 0 & m_d & 0 \\ 0 & 0 & m_s \end{pmatrix} = \frac{m_u + m_d + m_s}{\sqrt{6}} \lambda_0 + \frac{\frac{1}{2}(m_u + m_d) - m_s}{\sqrt{6}} \lambda_8 + \frac{m_u - m_d}{2} \lambda_3 \quad (26-1)$$

لاگرانژی جرم که قسمت دوم معادله (۱۵-۱) هست را می توان بر حسب کوارک های چپ و راست نوشت:

$$L_M = \bar{q}_R M q_L + \bar{q}_L M q_R \quad (27-1)$$

که با در نظر گرفتن جرم کوارک ها این تقارن به صورت صریح شکسته می شود و تحت تبدیلات (۲۵-۱) دیگر ناوردا نیست. نامبو^{۱۲} اولین بار شکست خود به خودی تقارن کایرال را در مباحث مربوط به ابررسانایی ارائه داد و از این طریق توانست مشکلات پیش آمده در آن مباحث را رفع نماید. که به سبب این فعالیت جایزه نوبل سال ۲۰۰۸ را از آن خود نماید[۷].

¹² Yoichiro Nambu

فصل دوم

نظریه اختلالی کایرال^۱ (ChPT)

مقدمه

در این فصل با توجه به تقارن های اشاره شده در فصل قبل، نظریه ای ارائه می دهیم که علاوه بر دارا بودن تقارن مورد نظر بتواند روشی اختلالی برای حل مسائل فصل سوم ارائه دهد. در این فصل ابتدا با کلیات نظریه و سپس با مفاهیم فیزیکی کمیت های استفاده شده در آن آشنا می شویم.

۱-۱ نظریه اختلالی کایرال

در انرژی های بالا و یا فاصله های کوتاه از نظریه پیمانه ای QCD استفاده می کنیم. در انرژی های پایین و یا فاصله های زیاد مشکل است که نتایج تجربی را از QCD استخراج کنیم. نظریه اختلالی کایرال (ChPT)، یک نظریه میدان موثر^۲ است. در واقع این نظریه به عنوان یک نظریه میدان موثر برای نظریه کرومودینامیک است و یک روش سیستماتیک برای محاسبه مشاهده پذیرها در انرژی های پایین می باشد. این نظریه درابتدا توسط واینبرگ ارائه شده بود [۱۰]. بعد گسر^۳ و لوتویلر^۴ به صورت اصولی نظریه را گسترش دادند.

این نظریه برای لاگرانژی، تقارن کایرال (راست و چپ) را در نظر می گیرد، همان طور که در فصل اول اشاره شد در محدوده انرژی 1GeV می توان از جرم کوارکهای سبک (u,d,s) در لاگرانژی کرومودینامیک صرف نظر کرد و تقارن کایرال را برای این لاگرانژی در نظر گرفت. پس ما در پی لاگرانژی موثری هستیم که دارای تقارن $SU(3)_L \times SU(3)_R$ باشد.

¹ Chiral Perturbation Theory

² Effective field theory

³ Gasser

⁴ Leutwyler

در انرژی های پایین فقط اعضای هشت تایه‌ی (π, k, η) را داریم که وابسته هستند به گلدستون بوزون هایی که از شکست خود به خودی تقارن کایرال به وجود آمده‌اند. هدف ما ساختن یک نظریه میدان موثر برای توصیف دینامیک این گلدستون بوزون هاست [۸].

۲-۲ لاغرانژی مؤثر کایرال

در چارچوب نظریه اختلالی مزونی کایرال، به طور کلی لاغرانژی از گلدستون بوزون ها به عنوان میدان های دینامیکی سازماندهی شده است و به صورت یک رشته از جمله هایی که تعداد مشتقات و جمله های جرم کوارکی در آن افزایش پیدا می‌کند.

lagranžی مؤثر به صورت رشته زیر در نظر گرفته می‌شود:

$$L_{eff} = L_2 + L_4 + L_6 + \dots \quad (1-2)$$

که زیر نویس ها در رابطه بالا به مرتبه اندازه حرکت و بسط جرم کوارکی اشاره دارد. برای مثال شاخص ۲، به دو مشتق یا یک جمله جرم کوارکی اشاره دارد. L_2 و L_4 در واقع جملاتی هستند که مرتبه کایرال آن ها $O(p^2)$ و $O(p^4)$ می‌باشد که متضایر با تعداد مشتقات و جملات جرم کوارکی است. مرتبه کایرال در بخش های مزونی همیشه به صورت توان زوج از تکانه $O(p^{2n})$ می‌باشد زیرا سهم جملات فرد به خاطر وجود جملات همیوغ بار صفر می‌شود پس فقط جملات زوج را برای لاغرانژی در نظر می‌گیریم.

پایین ترین مرتبه، $O(p^2)$ ، مطابق است با دیاگرام های درختی با ورتكس L_2 ، مرتبه بعدی $O(p^4)$ یا NLO، اشاره دارد به دیاگرام های درختی با ورتكس L_4 یا نمودارهای یک حلقه با ورتكس L_2 ، و به همین ترتیب مرتبه های دیگر. ما در این ترکیب تا تصحیحات مرتبه $O(p^4)$ پیش می‌رویم [۸].

۲-۱ لاغرانژی مؤثر در پایین ترین مرتبه

همان طور که در فصل اول اشاره شد لاغرانژی کرومودینامیک در فضای $SU(3)$ می‌باشد، برای همین منظور ماتریس های سازنده لاغرانژی می‌بایست در این فضا باشند. ما می‌خواهیم لاغرانژی مؤثر در حد کایرال را بنویسیم، که تحت انتقال سراسری $SU(3)_L \times SU(3)_R \times U(1)_V$ ناورداباشد.تابع نمایی $U(x)$ در $SU(3)$ را به صورت زیر می‌نویسیم:

$$U(x) = \exp\left(i \frac{\Phi(x)}{F_0}\right) \quad (1-2)$$

$$\Phi(x) = \sum_{a=1}^8 \lambda_a \Phi_a(x) \equiv \begin{pmatrix} \pi^0 + \frac{1}{\sqrt{3}}\eta & \sqrt{2}\pi^+ & \sqrt{2}k^+ \\ \sqrt{2}\pi^- & -\pi^0 + \frac{1}{\sqrt{3}}\eta & \sqrt{2}k^0 \\ \sqrt{2}k^- & \sqrt{2}k^0 & \frac{-2}{\sqrt{3}}\eta \end{pmatrix} \quad (2-2)$$

$$\Phi_a(x) = \frac{1}{2} \text{Tr}(\lambda_a \Phi(x)) \quad (3-2)$$

چگالی لاغرانژی مؤثر با کمترین تعداد مشتق را به صورت زیر در نظر می‌گیریم (از پایین ترین مرتبه شروع می‌کنیم):

$$L_{\text{eff}} = \frac{F_0^2}{4} \text{Tr}(\partial_\mu U \partial^\mu U^+) \quad (4-2)$$

یک پارامتر آزاد است که به واپاشی پایون $\pi^+ \rightarrow \mu^+ \nu_\mu$ مربوط می‌شود (ثابت واپاشی است).

لاغرانژی می‌بایست نسبت به تقارن $SU_L(3) \times SU_R(3)$ ناوردا باشد زیرا تئوری اختلالی کایرال، لاغرانژی مؤثری را در نظر می‌گیرد که دارای تقارن کایرال باشد. برای اثبات این ناوردایی، ابتدا گروه‌های زیردر نظر می‌گیریم.

$$G = SU(N) \times SU(N) = \{(L, R) \mid L \in SU(N), R \in SU(N)\} \quad (5-2)$$

$$\tilde{g} = (\tilde{L}, \tilde{R}) \in G \quad (6-2)$$

$$H = \{(V, V) \mid V \in SU(N)\} \quad (7-2)$$

با در نظر گرفتن دو رابطه بالا می‌توان رابطه (8-2) را تعریف کرد.

(8-2)

$$\tilde{g}H = \{(\tilde{L}V, \tilde{R}V) \mid V \in SU(N)\}$$

اگر رابطه زیر را در نظر بگیریم می‌توانیم $\tilde{g}H$ را به شکل رابطه (9-2) بنویسیم.

$$(\tilde{L}V, \tilde{R}V) = (\tilde{L}V, \tilde{R}\tilde{L}^+\tilde{L}V) = (1, \tilde{R}\tilde{L}^+)(\tilde{L}V, \tilde{L}V)$$

$$\tilde{g}H = (1, \tilde{R}\tilde{L}^+)H \quad (9-2)$$

را تحت g انتقال می‌دهیم.

$$g\tilde{g}H = (L, R\tilde{R}\tilde{L}^+)H = (1, R\tilde{R}\tilde{L}^+L^+)(L, L)H = (1, R(\tilde{R}\tilde{L}^+)L^+) \quad (10-2)$$

تابع $U(x)$ در $SU(N)$ را به صورت $U = \tilde{R}\tilde{L}^+$ می‌نویسیم، با استفاده از رابطه (9-2) و (10-2)، U را تحت g انتقال می‌دهیم:

$$U = \tilde{R}\tilde{L}^+ \rightarrow U' = R(\tilde{R}\tilde{L}^+)L^+ = RUL^+ \quad (11-2)$$

در نهایت روابط زیر را با کمک رابطه (۱۱-۲) می نویسیم:

$$U \rightarrow RUL^+$$

$$\partial_\mu U \rightarrow \partial_\mu (RUL^+) = \partial_\mu RUL^+ + R\partial_\mu UL^+ + RU\partial_\mu L^+ = R\partial_\mu UL^+$$

$$U^+ \rightarrow LU^+R^+$$

$$\partial_\mu U^+ \rightarrow L\partial_\mu U^+R^+$$

با استفاده از روابط بالا لاغرانژی را تحت g انتقال می دهیم و ثابت می کنیم که نسبت به تقارن کایرال ناوردادست.

$$L_{eff} \rightarrow \frac{F^2}{4} Tr(R\partial_\mu UL^+ L\partial_\mu U^+ R^+) = \frac{F^2}{4} Tr(R^+ R\partial_\mu U\partial^\mu U^+) = L_{eff} \quad (12-2)$$

در معادله بالا از ویژگی رد^۵ استفاده کردیم $Tr(AB) = Tr(BA)$. چون عدد باریونی گلdstون بوزون ها صفر است تحت انتقال سراسری $U(1)_V$ ، $\Phi \rightarrow \Phi$ و در نتیجه $U \rightarrow U$ تبدیل می کند و لاغرانژی تحت این انتقال نیز همیشه ناوردادست.

هدف از آوردن ضریب $\frac{F_0^2}{4}$ در لاغرانژی رسیدن به جمله استاندارد جنبشی، $\frac{1}{2}\partial_\mu \Phi_a \partial^\mu \Phi_a$ است که برای به دست آوردن آن تابع نمایی را بسط می دهیم.

$$U = 1 + i \frac{\Phi}{F} + \dots$$

$$\partial_\mu U = i \frac{\partial_\mu \Phi}{F} + \dots$$

در نتیجه لاغرانژی (۴-۲) به صورت زیر می شود:

$$\begin{aligned} L_{eff} &= \frac{F^2}{4} Tr\left[\frac{i\partial_\mu \Phi}{F}\left(-\frac{i\partial^\mu \Phi}{F}\right)\right] + \dots = \frac{1}{4} Tr(\lambda_a \partial_\mu \Phi_a \lambda_b \partial^\mu \Phi_b) + \dots \\ &= \frac{1}{4} \partial_\mu \Phi_a \partial^\mu \Phi_b Tr(\lambda_a \lambda_b) + \dots = \frac{1}{2} \partial_\mu \Phi_a \partial^\mu \Phi_a + L_{int} \end{aligned} \quad (13-2)$$

که از رابطه $Tr(\lambda_a \lambda_b) = 2\delta_{ab}$ استفاده کردیم. هشت میدان Φ_a وابسته است به هشت ذره بدون جرم موسوم به گلdstون بوزون ها.

می توان عملگر رد را در پایین ترین مرتبه به صورت دیگری هم نوشت:

$$Tr[(\partial_\mu \partial^\mu U)U^+] = \partial_\mu [Tr(\partial^\mu UU^+)] - Tr(\partial_\mu U\partial^\mu U^+) \quad (14-2)$$

^۵ Trace

جمله اول $\text{Tr}(\partial^\mu UU^+)$ صفر می شود. برای اثبات، عبارت داخل پراتز تابع نمایی (۱-۲) را φ نام گذاری می کنیم و تابع نمایی را بسط می دهیم:

$$U = 1 + i\varphi + \frac{1}{2}(i\varphi)^2 + \frac{1}{3!}(i\varphi)^3 + \dots$$

از رابطه بالا مشتق می گیریم:

$$\partial_\mu U = i\partial_\mu \Phi + \frac{1}{2}(i\partial_\mu \varphi i\varphi + i\varphi i\partial_\mu \varphi) + \frac{1}{3!} [i\partial_\mu \varphi (i\varphi)^2 + i\varphi i\partial_\mu \varphi i\varphi + (i\varphi)^2 \partial_\mu \varphi] + \dots$$

و در نهایت می شود:

$$\begin{aligned} \text{Tr}(\partial^\mu UU^+) &= \text{Tr}[i\partial_\mu \varphi U^+ + \frac{1}{2}(i\partial_\mu \varphi i\varphi + i\varphi i\partial_\mu \varphi)U^+ + \dots] \\ &= \text{Tr}[i\partial_\mu \varphi U^+ + i\partial_\mu \varphi i\varphi U^+ + \frac{1}{2}i\partial_\mu \varphi (i\varphi)^2 U^+ + \dots] \\ &= \text{Tr}(i\partial_\mu \varphi UU^+) = \text{Tr}(i\partial_\mu \varphi) = i\partial_\mu \varphi_a \text{Tr}(\lambda_a) = 0 \end{aligned}$$

پس به دلایلی مشابه سهم بسیاری از جملات صفر می گردد و در نهایت لاگرانژی مؤثر به صورت معادله (۴-۲) می گردد. یک روش تست لاگرانژی، استفاده از زوج یا فرد بودن پاریته ذاتی است. میدان های گلدستون بوزون ها و تابع نمایی تحت پاریته به شکل زیر تبدیل می شوند.

$$\Phi_a(\vec{x}, t) \xrightarrow{P} -\Phi_a(-\vec{x}, t) \quad \text{و} \quad U(\vec{x}, t) \xrightarrow{P} U^+(-\vec{x}, t)$$

اگر این تغییرات را در لاگرانژی اعمال کنیم لاگرانژی تحت پاریته زوج می شود [۴].

۲-۲-۲ جمله جرمی در لاگرانژی

هنگامی که تقارن کایرال بصورت صحیح شکسته می شود گلدستون بوزون های کم جرم به وجود می آید. در قسمت ۶-۱ دیدیم که لاگرانژی جرم را می توان به صورت زیر نوشت که نشان دهنده شکست تقارن است:

$$L_M = \bar{q} M q = -(\bar{q}_R M q_L + \bar{q}_L M q_R) \quad (15-2)$$

$$M = \begin{pmatrix} m_u & 0 & 0 \\ 0 & m_d & 0 \\ 0 & 0 & m_s \end{pmatrix} \quad (16-2)$$

برای اینکه معادله (۱۵-۲) را با چارچوب لاغرانژی مؤثر ترکیب کنیم، باید لاغرانژی تحت انتقال سراسری ناوردانداشده $G = SU(3)_L \times SU(3)_R$ باشد.

$$M \rightarrow RML^+ \quad (17-2)$$

لاغرانژی را به صورت $L(U, M)$ در نظر می‌گیریم که تحت انتقال سراسری G ناورداست. در پایین ترین مرتبه لاغرانژی به صورت زیر می‌شود:

$$L_{s.b} = \frac{F_0^2 B_0}{2} Tr(MU^+ + UM^+) \quad (18-2)$$

زیرنویس $s.b$ به شکست تقارن^۶ اشاره دارد. برای اینکه پارامتر جدید B_0 را معرفی کنیم، به چگالی انرژی در حالت پایه توجه کنید.

$$\langle L_{eff} \rangle = -F^2 B_0 (m_u + m_d + m_s) \quad (19-2)$$

اگر جرم سه نوع کوارک Up, Down, Strang را برابر در نظر بگیریم در این صورت عبارت بالا برابر معادله (۲۰-۲) می‌گردد.

$$\langle L_{eff} \rangle = -3F_0^2 B_0 \quad (20-2)$$

با توجه به (۲۰-۲) دیمانسیون B_0 از نوع انرژی است. به همان ترتیب که قبلاً اشاره شده می‌دانیم که در محاسبات فیزیک ذرات جرم، انرژی و اندازه حرکت دارای یک دیمانسیون می‌باشند.

$$\left. \frac{\partial \langle 0 | L_{QCD} | 0 \rangle}{\partial m_q} \right|_{m_u=m_d=m_s} = \frac{1}{3} \langle 0 | q\bar{q} | 0 \rangle = \frac{1}{3} \langle q\bar{q} \rangle \quad (21-2)$$

کوارک کایرال است. با استفاده از معادله (۲۰-۲) و (۲۱-۲) معادله زیر بدست می‌آید [۹]:

$$3F_0^2 B_0 = - \langle q\bar{q} \rangle \quad (22-2)$$

برای اینکه جرم گلدستون بوزون‌ها را تعیین کنیم، جمله‌های مرتبه دوم میدان‌ها را در لاغرانژی $L_{s.b}$ در نظر می‌گیریم:

$$L_{s.b} = -\frac{B_0}{2} Tr(\Phi^2 M) + \dots \quad (23-2)$$

در نهایت با استفاده از معادله (۱-۲) و (۲-۲) رابطه زیر را داریم:

$$Tr(\Phi^2 M) = 2(m_u + m_d)\pi^+\pi^- + 2(m_u + m_s)k^+k^- + 2(m_d + m_s)k^0\bar{k}^0 + (m_u + m_d)\pi^0\pi^0$$

^۶ Symmetry breaking